GFRP 筋材および鋼繊維を用いた切削セグメントの開発

大成建設(株) 土木設計部 正会員 〇森田 穣 大成建設 (株) 土木設計部 正会員 岸山 雄多佳 土木設計部 大成建設(株) 正会員 小阪 佳平 大成建設(株) 土木設計部 正会員 近藤 智人

1. はじめに

道路トンネルの分岐合流部の非開削工事においては、シールドマシンで切削可能な切削セグメントが用いられる。切削セグメントの補強材には、従来、CFRP 筋材(炭素繊維強化プラスチック)が用いられてきた。今回、補強筋材にGFRP 筋材(ガラス繊維強化プラスチック)を用い、コンクリートに鋼繊維を混入することで、ひび割れ抵抗性に優れ、経済的な切削セグメントを開発した。

本稿では、本切削セグメントについて、土木学会で技術評価を受けた繊維補強鉄筋コンクリート製セグメントの設計手法 ¹⁾ の適用性を確認するために行った、性能確認試験結果について報告する。本切削セグメントの概要図および使用材料を図 1 に示す。

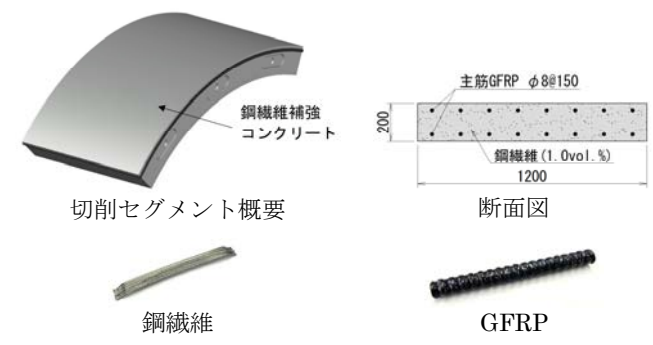


図 1 本切削セグメントの概要および使用材料

2. 本切削セグメントの構造概要

本切削セグメントで使用する GFRP 筋材は、図 2 に示すように、CFRP 筋材に比べて剛性が小さく、ひび割れ発生初期段階における応力負担が CFRP 筋材と比較して小さい。そのため、CFRP 筋材と同径の GFRP 筋材を用いた場合、ひび割れ幅を制御することが難しい。そこで、コンクリートに鋼繊維を混入することにより、ひび割れ発生初期段階のひび割れ抵抗性を高めた。また、本切削セグメントの終局限界状態においては、引張強度が鉄筋よりも大きい GFRP 筋材の特性により、高い耐荷性能を有する。

GFRP 筋材と鋼繊維補強コンクリートを用いた本切削セグメントの耐荷機構の特徴を表 1 に示す。

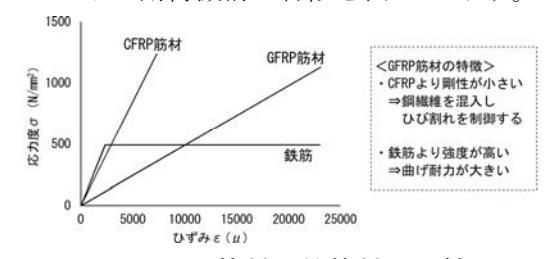


図 2 GFRP 筋材と他筋材の比較

表 1 本切削セグメントの耐荷機構の特徴

	構造	鋼繊維補強	コンクリート
性能		コンクリート+GFRP	+CFRP
ひび割れ制御		鋼繊維	CFRP
曲げ耐力		GFRP	CFRP

3. 設計手法

本切削セグメントは、GFRP 筋材と鋼繊維の補強効果により、引張側の応力を負担する耐荷機構を有する。主断面の応力分布のイメージを図 3に示す。鋼繊維によるコンクリートの引張側の応力分布は、破壊エネルギー試験より得られる引張軟化曲線および引張応力 σ -ひずみ ϵ 関係から設定し設計に用いる。なお、本設計手法の詳細は参考文献1)に準じるものとする。

ここで、参考文献 Dは鉄筋と鋼繊維補強コンクリートからなる構造を対象としている。それに対し、本切削セグメントは GFRP 筋材と鋼繊維補強コンクリートからなる構造であるため、本構造においても繊維補強鉄筋コンクリートと同様の設計手法が適用できるかについて、破壊エネルギー試験および部材曲げ試験により確認した。

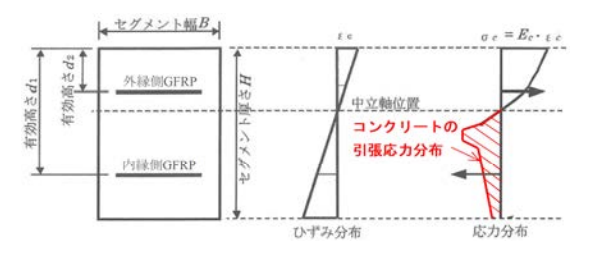


図 3 セグメント主断面の応力分布イメージ

キーワード 切削セグメント GFRP (ガラス繊維強化プラスチック) 鋼繊維補強コンクリート 連絡先 〒163-0606 東京都新宿区西新宿 1-25-1 大成建設 (株) 本社土木設計部 TEL090-4925-9655

4. 試験結果

4.1. 破壊エネルギー試験

鋼繊維補強コンクリートの引張軟化特性を確認するため、鋼繊維の種類と混入率を組み合わせた計 4ケースの破壊エネルギー試験を実施した。なお、試験結果のばらつきを確認するために、各ケース 4 体ずつ試験を実施した。試験概要を図 4 に、試験ケースを表 2 に示す。試験より得られたケース No.2 の引張軟化曲線を図 5 に示す。この結果より、鋼繊維補強コンクリートは、鋼繊維を含まないコンクリートの引張強度以上の応力を分担できることを確認した。

次に、試験より得られた引張軟化曲線を基に、設計に用いる引張応力 σ -ひずみ ϵ 関係を設定し、部材曲げ試験における曲げ耐力の算定を行った。

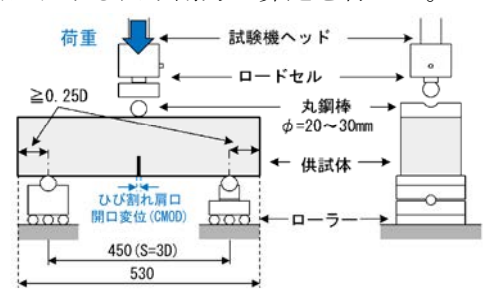


図 4 破壊エネルギー試験概要図

表	2	試験ケ-	ース一覧	į
表	2	試験ケ-	ース一覧	7

ケース No.	鋼繊維種別	繊維混入率(vol.%)
1	鋼繊維 A	0.8
2	到则利以示臣 A	1.0
3	鋼繊維 B	0.8
4	型叫利 <u>以</u> 亦臣 D	1.0

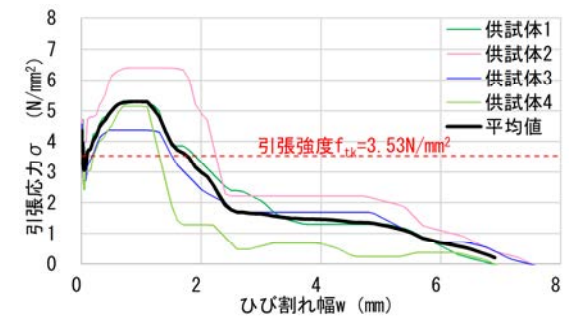


図 5 引張軟化曲線 (ケース No. 2)

4.2. 部材曲げ試験

本切削セグメントの曲げ耐力を確認するため、部材曲げ試験を実施した。試験体は 1 辺 250mm の正方形断面に GFRP (ϕ 8, ϕ 12, ϕ 14) を配置した 3 ケースのはり部材を製作した。荷重は中央 2 点に対し、鉛直方向に線荷重(載荷スパン 500mm)を試験体に破壊が生じるまで載荷した。試験概要図を図 6 に、試験体の荷重載荷状況を図 7 に示す。

部材曲げ試験より得られた荷重 P-変位 δ 関係を図 8 に、試験結果と設計値の比較を表 3 に示す。試験 結果より、部材曲げ試験の最大荷重は 63.4 (kN) となり、設計上の終局荷重 46.0 (kN) を上回ることを確認した。また、試験体のひび割れ発生状況を図 9 に示す。これにより、良好なひび割れ分散性についても確認できた。

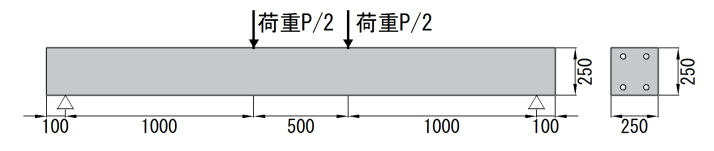


図 6 部材曲げ試験概要図

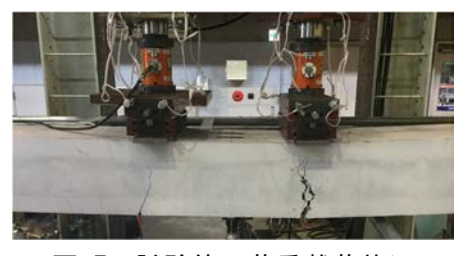


図 7 試験体の荷重載荷状況

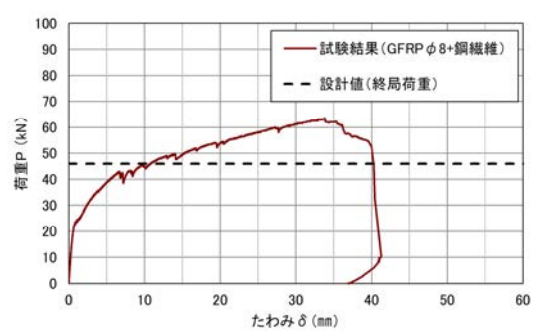


図 8 荷重 P-変位 δ (GFRP φ 8, 鋼繊維 A, 1. 0vol. %)

表 3 試験結果と設計値の比較

	試験結果	設計値
GFRP 破断強度(N/mm²)	1,205	1,000
コンクリート強度(N/mm²)	76.9	60
終局荷重(kN)	63.4	46.0



図 9 試験体のひび割れ発生状況(側面)

5. まとめ

本試験を通じて、GFRP 筋材および鋼繊維を用いた本構造においても、繊維補強鉄筋コンクリートと同様の設計手法が適用できることを確認した。

参考文献

1) 土木学会:技術推進ライブラリーNo.6 「繊維補強鉄筋コンクリート製セグメントの設計・製作技術」に関する技術評価報告書,2010